УДК 519.241.5:518.62:541.18.041.8:576.11

БИОХИМИЯ

## К. Л. ГЛАДИЛИН, А. Ф. ОРЛОВСКИЙ

## МЕТОД ПОДБОРА АППРОКСИМИРУЮЩИХ ФУНКЦИЙ

(Представлено академиком А. И. Опариным 10 І 1973)

Прп анализе результатов биологических и биохимических исследовапий целый ряд экспериментаторов стремится для большей определенности и законченности выводов представить рассматриваемую закономерность в виде эмппрических формул, а не только таблиц или графиков. Аппроксимирующие функции позволяют также привести заданную таблицей зависимость к виду, наиболее удобному для дальнейших математических расчетов, особенно если опи проводятся на ЭВМ.

В работах К. А. Семендяева (1) и А. К. Успенского (2) намечен удач-

ный подход к выбору вида аппроксимирующих функций.

Целью дапной работы является разработка указанного подхода и использование его для упрощения расчетов при обработке экспериментальных данных для определения средних размеров и числа капель в коаперватных системах спектрофотометрическим методом.

Выбор вида аппроксимирующей функции. Аппрокси-

мирующая функция представляет собой уравнение

$$y = f(x), \tag{1}$$

позволяющее представить в аналитическом виде зависимость, заданную в виде таблицы упорядоченных пар отношений  $\langle x_i, y_i \rangle_{i \in I = \{1, 2, 3, ..., n\}}$ :

$$x_1, x_2, x_3, \ldots, x_{n-1}, x_n,$$
 (2)

 $y_1, y_2, y_3, \ldots, y_{n-1}, y_n$ 

Для решения задачи в общем виде заменим уравнение (1) его линейным вариантом:

$$u = av + b, (3)$$

где u=u(y), а v=v(x). Тогда среднее арифметическое из крайних значений u должно быть липейной функцией от среднего арифметического из крайних значений v:

 $\bar{u} = a\bar{v} + b. \tag{4}$ 

Теперь задача сводится к отысканию вида зависимости u от y и v от x, удовлетворяющей требованию липейности (4). Для ее решения используем три типа средних величин: среднее арифметическое  $\bar{z}_1 = (z_1 + z_n) / 2$ ; среднее геометрическое  $\bar{z}_2 = \sqrt{z_1 z_n}$  и среднее гармоническое  $\bar{z}_3 = 2z_1 z_n / (z_1 + z_n)$  или  $(1/\bar{z}_3) = [(1/z_1) + (1/z_n)] / 2$ , где вместо z могут быть подставлены соответствующие значения y или x. Порядок действий при отыскании вида зависимости следующий.

1. Вычисляют все три типа средних величин  $(\bar{z}_1, \bar{z}_2, \bar{z}_3)$  для заданных

в таблице пар (2) крайних значений x ( $x_1$  п  $x_n$ ) и y ( $y_1$  и  $y_n$ ).

2. По данным таблицы пар (2) методом линейной интерполяции или по графику зависимости y от x, построенному на основании данных таблицы пар (2), находят заданные таблицей пар значения y для трех средних значений x  $y(\bar{x}_1)$ ;  $y(\bar{x}_2)$ ;  $y(\bar{x}_3)$ .

3. Сравнивают значения каждого из трех типов  $\bar{y}$  (см. пункт 1) с каждым из трех  $y(\bar{x})$  (см. пункт 2). В результате получают 9 возможных пар

 $\overline{y}_i \leq y(\overline{x}_i)$ . Тип среднего y и x в паре  $\overline{y} \approx y(\overline{x})$ , где равенство выполняется наиболее точно, определяет вид зависимости по правилу: среднее арифметическое дает замену u на y, а v на x; среднее геометрическое — на  $\lg y$  и  $\lg x$ , а среднее гармоническое — на 1/y и 1/x соответственно, так как только при этом выполняется требование линейности уравнения (4). Так, например, если оказалось, что  $\overline{y}_3 = y(\overline{x}_2)$ , то уравнение (3) принимает вид  $1/y = a \lg x + b$ . Тогда  $1/\overline{y}_3 = \left[ (1/y_1) + (1/y_n) \right]/2 = (a \lg x_1 + b) + a \lg x_n + b)/2 = a \lg \sqrt[3]{x_1}x_n + b = a \lg \overline{x}_2 + b = y(\overline{x}_2)$ , что и требовалось получить. Сущность метода может быть продемонстрирована графически (рпс. 1). На рис. 1A представлены 9 точек возможных пар соответствий

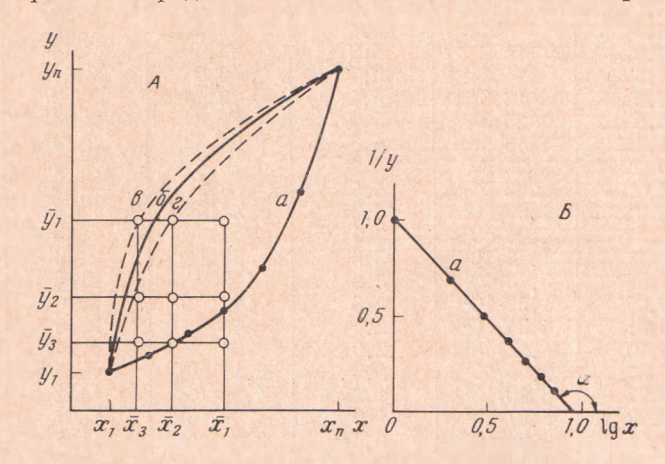


Рис. 1. Графическая иллюстрация сущности метода совпадения средних для выбора вида аппроксимирующей функции (пояснения в тексте)

средних величин для двух крайних:  $y_1(x_1)$  и  $y_n(x_n)$ . Приведенному выше примеру зависимости соответствует график типа кривой a (рис. 1A), ли-

нейный вид которой представлен на рис. 1B ( $a = tg \alpha$ ).

В тех случаях, когда значение  $\overline{y}$  лежит между двумя значениями  $y(\overline{x})$  (рис. 1A, кривая 6), аппроксимирующую функцию выбираем в виде линейной комбинации двух функций, соответствующих примыкающим типам  $y(\overline{x})$ . Например, если  $\overline{y}_1$  лежит между значениями  $y(\overline{x}_2)$  и  $y(\overline{x}_3)$ , то левому типу зависимости (см. рис.1A, кривая e) соответствует формула y=a/x+d, а правому (кривая e)  $y=b\lg x+e$ . В результате линейной комбинации этих двух формул получаем  $y=a/x+b\lg x+c$ , где c=d+e.

Параметры данного уравнения, записанного в общем виде (u=c+av+bw) могут быть найдены методом наименьших квадратов через де-

терминанты «расширенной» (вырожденной) матрицы:

$$\begin{pmatrix} n & \Sigma v & \Sigma w & & \Sigma u \\ \Sigma v & \Sigma v^2 & \Sigma vw & & \Sigma uv \\ \Sigma w & \Sigma vw & \Sigma w^2 & & \Sigma uw \end{pmatrix},$$

миноры которой являются матрицами для соответствующих уравнений, по-

лучаемых из указанного вычеркиванием тех или иных членов.

Использование аппроксимирующих функций для интерполирования табулированных зависимостей. Аппроксимирующие функции удобны в тех случаях, когда аналитический вид зависимости сложен, что бывает существенно даже при машинной обработке экспериментальных данных. Так, разработанный выше метод был использован нами для упрощения расчетов средних размеров и числа капель в различных коацерватных системах в зависимости от концентрации

	$\lambda_1 = 1,0, \ \lambda_2 = 1,3 \ \mu$		$\lambda_1 = 0.7, \ \lambda_2 = 1.0 \ \mu$		$\lambda_1 = 0.4, \ \lambda_2 = 0.6 \ \mu$	
$D_1/D_2$	диаметр ка- пель, 10-4 см	число капель в 1 мл, 10°/(D <sub>1</sub> + D <sub>2</sub> )	диаметр ка- пель, 10-4 мл	число капель В 1 мл, $10^6/(D_1+D_2)$ ;	диаметр на- пель, 10-4 см	число капель в 1 мл, 106/(D <sub>1</sub> + D <sub>2</sub> )
1,10 1,15 1,20 1,25 1,30 1,35 1,40 1,45 1,50 1,55 1,60 1,65 1,70 1,75 1,80 1,85 1,90 1,95 2,00 2,05 2,10 2,15 2,20	11,5 10,0 8,9 8,1 7,5 7,0 6,5 6,2 5,5 4,8 3,9 3,0 2,0 1,5 1,1 0,84 0,65 0,51 0,40 0,40 0,40 0,40 0,40 0,27 0,23 0,19	3,11 4,36 5,78 7,444 9,43 11,9 14,9 18,6 28,3 46,9 96,8 263 1,30.10 <sup>3</sup> 4,98.10 <sup>3</sup> 1,72.10 <sup>4</sup> 5,45.10 <sup>4</sup> 1,59.10 <sup>5</sup> 4,34.40 <sup>6</sup> 1,11.10 <sup>3</sup> 2,69.10 <sup>3</sup> 6,20.10 <sup>6</sup> 1,37.10 <sup>7</sup> 2,89.10 <sup>7</sup>	8,2 7,4 6,9 6,4 6,0 5,7 5,4 5,1 4,9 4,7 4,5 4,3 3,6 3,2 2,8 2,8 2,4 2,0 1,5 1,25 1,04 0,87	6,15 7,78 9,55 11,5 13,6 16,0 18,7 21,8 25,3 29,4 33,9 42,5 57,5 79,1 113 192 349 703 2,14 10 <sup>3</sup> 4,92 10 <sup>3</sup> 1,08 10 <sup>1</sup> 2,29 10 <sup>4</sup>		

Примечание. Выделены величины, погрешность округления которых не превышает 5% для диаметра капель и 10% для числа капель. Относительный коэффициент преломления капель 1,05. Толщина кюветы по ходу луча 0,106 см.

исходных растворов и протекания ферментативных реакций (3). Исходными для расчетов величинами служили данные об оптических плотностях коацерватных систем, обусловленных светорассеянием при двух различных длинах воли: тех, при которых отсутствует поглошение света компонентами системы. Величина р, характеризующая степень светорассеяния в зависимости от длины волны света, определяется непосредственно из данных эксперимента по формуле  $p = \lg(D_1/D_2)/\lg(\lambda_2/\lambda_1)$ , где  $D_1$  – оптическая плотность при длине волны  $\lambda_1$ ;  $D_2$  — при  $\lambda_2$ . Величина p дает далее возможность определить относительную величину диаметра капель и длины волны падающего света  $\alpha = \pi d / \lambda$  по соответствующим таблинам тогда  $d = \alpha \lambda / \pi$ , где d — диаметр капель.

Указанные таблицы (4) позволяют определять а до величины, равной 25, что для наших целей оказалось недостаточным. В связи с этим, по данным таблицы зависимости суммарного светорассеяния (по всем направлениям) для одной частицы  $\Sigma(\alpha)$  (5), нами были подобраны аппроксимирующие функции, которые позволили при помощи ЦВМ «МИР-2» по соответствующей расчетной формуле (4) продолжить таблицу зависимости  $\alpha(p)$  до значения, равного 41, что расширило возможности определения максимального среднего диаметра капель от 6,8 до 11,5 µ.

Результатом проведенной работы является табл. 1, позволяющая сократить время расчета в десятки раз, что как раз представляло собой основное препятствие для использования метода светорассеяния при определениях размеров и количества коацерватных капель, или бактерий в культуральной жидкости, или субклеточных структур (а также их фрагментов) в соответствующих суспензиях.

Данные, приведенные в табл. 1, показывают также влияние точности определения оптической плотности на точность конечных результатов. Эту

переменную величину приходилось особо учитывать, когда коацерватные системы образовывались из растворов с концентрацией выше оптимальной, так как при этом запись оптической плотности системы имеет ярко выраженный волнистый характер, что обусловлено пересеканием луча света крупными агрегатами капель и отдельными флокулятами ( $^3$ ). Этот стохастический фон может быть «отделен» от величины оптической плотности остальной системы при помощи математического метода, предложенного нами ранее ( $^6$ ), для чего на графике записи оптической плотности следует провести кривые, аппроксимирующие минимумы оптической плотности раздельно для каждой из двух длин волн: min  $D_1$  и min  $D_2$  соответственно ( $^3$ ). Величины, рассчитанные по этим минимальным значениям оптической плотности соответствуют системе с «удаленными» из нее (хотя бы частично) крупными агрегатами и флокулятами.

Полученные нами результаты ( $^3$ ) хорошо согласуются с данными, найденными при помощи анализатора биочастиц ( $^7$ ), что экспериментально подтверждает применимость предложенных нами методов, особенности и

преимущества которых описаны нами ранее (3).

Авторы сердечно благодарят акад. А. И. Опарина за постоянное внимание и Т. Н. Еврепнову за повседневную помощь в работе.

Институт биохимин им. А. Н. Баха Академии наук СССР Москва Поступило 15 XII 1972

## ПИТИРОВАННАЯ ЛИТЕРАТУРА

<sup>1</sup> К. А. Семендяев, Эмпирические формулы, М., 1933. <sup>2</sup> А. К. Успенский, Выбор вида и нахождение параметров эмпирической формулы, М., 1960. <sup>3</sup> К. Л. Гладилин, А. Ф. Орловский и др., ДАН, 206, № 4, 223 (1972). <sup>4</sup> W. Heller, H. L. Bhatnagar, M. Nakagaki, J. Chem. Phys., 36, 5, 1163 (1960). <sup>5</sup> W. J. Pangonis, W. Heller, A. Jacobson, Tables of Light Scattering Function for Spherical Particles, Detroit, 1957, pp. 113, 114, 117. <sup>6</sup> К. Л. Гладилин, ДАН, 203, № 1, 226 (1972). <sup>7</sup> Т. Н. Евреинова, Л. М. Галимова, В сборн. Машинный анализ микроскопических объектов, «Наука», 1968, стр. 82.